



## Economic Strength of Astarabad during the reign of Naser al-din Shah Qajar (1848-1896): Elemental Analysis of Naseri Silver Qirans Multiplied in Astarabad using PIXE Method

Hossein Kuhestani Andarzi<sup>1</sup> | Saman Farzin<sup>2</sup> | Zohre Jozī<sup>3</sup> | Muhammad Amin Saadat-Mehr<sup>4</sup>

### Abstract:

**Purpose:** During the reign of Naser al-Din Shah Qajar, there were multiple versions of silver Qirans. A version was struck in the northeast region of Astarabad. Although all versions nominally followed that of Tehran, as each city had an autonomous military system, in practice coins of most regions were struck with different amounts of silver purity. This article tends to gauge the economic power of Astarabad and compared it with other regions including Mashhad, Tabriz, Isfahan, and Shiraz, by measuring the silver purity of its coins.

**Method and Research Design:** Elemental analysis of coins of this period using the PIXE method was the main basis of this research and 22 coins on 22 different dates were elementally analyzed.

**Finding and Conclusion:** Changes in the purity of silver on average in periods between 1849-1857 AH. 90.10%, 1860-1871 AH. 86.56%, 1873-1876 AH. 84.20%. Overall, throughout the three periods, it multiplied by 87.42%. This explains the position of Astarabad coins to those of Mashhad (84%), Tabriz (82%), Tehran (90%), Isfahan (84%), And Shiraz (90%). This research showed how to change the grade of coins with copper and iron metals, and the type of silver mines used, namely Cerussite mines.

**Keywords:** Astarabad, Economics, PIXE Experiment, Naser al-Din Shah Qajar, Numismatics.

**Citation:** Kohestani, H., Farzin, S., Jouzi, Z., Saadat- Mehr, M. (2021). Economic Strength of Astarabad during the reign of Naser al-din Shah Qajar (1848-1896): Elemental Analysis of Naseri Silver Qirans Multiplied in Astarabad using PIXE Method. *Ganjine-yé Asnad*, 31(2), 166-190 | doi: 10.30484/ganj.2021.2672

1. Assistant professor, Department of Archeology, University of Birjand, Birjand, I. R. Iran  
hkoohestani@birjand.ac.ir

2. Assistant professor Department of Archeology, University of Birjand, Birjand, I. R. Iran,  
(Corresponding Author)  
farzin@birjand.ac.ir

3. Assistant professor, Department of Archeology, University of Sistan and Baluchestan, Zahedan, I. R. Iran  
Zj332244@gmail.com

4. Ph.D. Student of Archeology, University of Mazandaran, Babolsar, I. R. Iran  
ma.saadatmehr@gmail.com

Copyright © 2021, NLAI (National Library & Archives of I. R. Iran). This is an Open Access article distributed under the terms of the Creative Commons Attribution 4.0 International, which permits others to download this work, share it with others and adapt the material for any purpose.





فصلنامه تحقیقات تاریخی  
و مطالعات آرشیوی

مقاله پژوهشی

## قدرت اقتصادی شهر آسترآباد در عصر ناصری از راه تجزیه‌پیکسی عناصر قران‌های نقره ناصرالدین‌شاه قاجار ضرب شده در استرآباد

حسین کوهستانی‌اندرزی<sup>۱</sup> | سامان فرزین<sup>۲</sup> | زهره جوزی<sup>۳</sup> | محمدامین سعادت‌مهر<sup>۴</sup>

**چکیده:**

**هدف:** در دوره ناصرالدین‌شاه قاجار قران‌های نقره فراوانی بین سال‌های ۱۲۹۲-۱۲۶۵ ق در ضراب خانه استرآباد ضرب شد. نظام ضرب سکه‌شهرها در دوره ناصری هرچند به صورت اسمی پیرو نظام تهران بود، ولی در عمل هر شهر نظامی خودمختار داشت و سکه بیشتر شهرها با مقادیر متفاوت خلوص نقره ضرب می‌شد. این مقاله برآن است تا علاوه بر سنجش مقدار خلوص نقره و سیر تغییرات آن در سکه‌های ضرب استرآباد، قدرت اقتصادی استرآباد را تبیین کند و با شهرهای مهمتر در عصر قاجار، یعنی مشهد، تبریز، اصفهان، و شیراز مقایسه کند.

**روش / رویکرد پژوهش:** ۲۲ سکه متعلق به ۲۲ تاریخ دوره ناصرالدین‌شاه با استفاده از شیوه‌پیکسی تجزیه‌عنصری شد.

**یافته‌ها و نتیجه‌گیری:** میانگین خلوص نقره سکه‌های ضرب استرآباد در دوره ناصرالدین‌شاه بین سال‌های ۱۲۶۵-۱۲۷۳ ق ۹۰/۱۰٪، بین سال‌های ۱۲۸۷-۱۲۷۶ ق ۸۶/۵۶٪، بین سال‌های ۱۲۸۹-۱۲۹۲ ق ۸۴/۲۰٪، و میانگین سه دوره ۸۷/۴۲٪ یافته شد. میانگین خلوص نقره سکه‌های ضرب مشهد (۸۶٪)، تبریز (۸۲٪)، تهران (۹۰٪)، اصفهان (۸۴٪)، و شیراز (۹۰٪) بود. در آخر نیز اطلاعاتی ارزشمند از نحوه تغییر عیار فلز سکه‌ها با فلزات مس و آهن، و نوع معادن نقره‌استفاده شده، یعنی معادن سروزیت به دست آمد.

**کلیدواژه‌ها:** استرآباد؛ اقتصاد؛ آزمایش پیکسی؛ ناصرالدین‌شاه قاجار؛ سکه‌شناسی.

**استناد:** کوهستانی، حسین، فرزین، سامان، جوزی، زهره، سعادت‌مهر، محمدامین. (۱۴۰۰). قدرت اقتصادی شهر آسترآباد در عصر ناصری از راه تجزیه‌پیکسی عناصر قران‌های نقره ناصرالدین‌شاه قاجار ضرب شده در استرآباد. *گنجینه اسناد*, ۲(۳۱)، ۱۶۰-۱۹۰ | doi: 10.30484/ganj.۲۰۲۱.۲۶۷۲ | Zj332244@gmail.com



### گنجینه اسناد

«۱۲۲»

فصلنامه علمی | سازمان اسناد و کتابخانه ملی ج. ایران - پژوهشکده اسناد

شایپا (چاپی): ۲۵۳۸-۲۲۶۸ | شایپا (الکترونیکی): ۱۰۲۳-۳۶۵۲

شناسانه برنمود رقمی (DOI): 10.30484/GANJ.۲۰۲۱.۲۶۷۲

نمایه در Google Scholar, Researchgate, Google Scholar, ISC, SID, ایران ژورنال و ایران

سال ۳۱، دفتر ۲، تابستان ۱۴۰۰ | صص: ۱۶۶ - ۱۹۰ (۲۵)

تاریخ دریافت: ۱۴۰۰/۱/۱۵ | تاریخ پذیرش: ۱۳۹۹/۳/۴

## ۱. مقدمه

شهر استرآباد به دلیل موقعیت‌های اقتصادی و تجاری فراوان همیشه اهمیت ویژه‌ای داشته‌است؛ علاوه بر این جایگاه سیاسی بالایی هم برای حکمرانان قاجاری داشته‌است؛ ازین‌رو از دوران سامانی سکه‌هایی با نام این شهر و تابع نظام پولی حکومتی ضرب می‌شد (عقیلی، ۱۳۷۷، ص ۷۸). سازوکار حکومت‌ها در راستای تضمین ارزش پول براساس عیار فلز آن بود؛ بدین‌نحو که قوانینی وضع می‌کردند و کارگزارانی برای نظارت بر آن تعیین می‌کردند. نظام پولی دوره قاجار برپایه قوانین عصر صفوی بنا شده بود. نظام مزبور در عصر ناصری نابه‌سامان شد، چون قران‌های نقره در شهرهای مختلف با عیارهای متفاوت ضرب می‌شد و نرخ تبدیل آن‌ها به توانانهای طلا بسیار متفاوت بود. درواقع پول‌های رایج در هر شهر با همان ارزش اسمی در شهرهای دیگر پذیرفته نمی‌شد و فقط در صورت کسر مبلغی با عنوان نرخ تسعیر، قابل پذیرش و تبدیل بود و این یعنی هر شهری برای خود پولی محلی داشت (مته و دیگران، ۱۳۹۶، صص ۴۴ و ۲۸۱-۲۸۲). استرآباد نیز از این موضوع مستثنانبود و قران‌های نقره محلی بسیاری با ارزش نامشخص و به صورت پراکنده بین سال‌های ۱۲۶۵-۱۲۹۲ قدر این شهر ضرب شد.

این سکه‌ها را می‌توان اسنادی ارزشمند در داده‌های باستان‌شناسی دانست، زیرا به همان عصر تعلق دارند و با هدف خوانش مجدد پدید نیامده‌اند (کیان‌زادگان و دیگران، ۱۳۹۸، ص ۱۸۲). تجزیه‌عنصری سکه‌های این دوره، با استفاده از روش‌های باستان‌سنجی<sup>۱</sup>، می‌تواند اطلاعاتی ارزشمند از وضعیت سیاسی-اقتصادی در اختیار ما گذارد تا تحلیلی بهتر از وضعیت دوران مورد پژوهش ارائه شود (Beck et al., 2004, pp 153-162).

بنابراین دو پرسش مطرح می‌شود:

درصد خلوص عناصر سکه‌های نقره ضرب شده در استرآباد چقدر بوده و سیر تغییرات آن چگونه رقم خورده‌است؟

درصد خلوص نقره سکه‌های ضرب شده در استرآباد، در جایگاه یک شهر اقتصادی مهم، در مقایسه با شهرهای مهم دیگر ایران، نظیر مشهد، تبریز، تهران، اصفهان، و شیراز چقدر بوده است؟

در پژوهش حاضر سعی برآن است که علاوه بر تلفیق نگاشته‌های تاریخی و اطلاعات سکه‌شناسی، نتایج تجزیه‌عنصری سکه‌های ضرب شده در استرآباد در تمامی تاریخ‌های ضرب، با روش پیکسی<sup>۲</sup> بررسی شود تا تحلیلی از نحوه عملکرد و تعهد این ضرابخانه به نظام مرکزی ضرب مسکوکات در مقایسه با سایر شهرهای اصلی ایران عصر قاجار عرضه شود.

1. Archaeometry
2. PIXE

در بررسی و اندازه‌گیری ترکیبات عنصری نمونه‌ها و اشیا باستانی، روش‌های متفاوتی نظیر پرتوی ایکس<sup>۱</sup>، فلورسنس پرتوی ایکس<sup>۲</sup>، گسیل پرتوی ایکس ناشی از ذرات<sup>۳</sup>، طیف‌سنجی جذب اتمی<sup>۴</sup>، تجزیه‌فعال‌سازی نوترونی<sup>۵</sup>، و... استفاده می‌شود(خادمی ندوشن و دیگران، ۱۳۹۴، ص ۵۶). برای مطالعه سکه‌های پژوهش حاضر از میان روش‌های تجزیه عنصری، از روش پیکسی به‌دلیل سرعت، و دقت زیاد و از همه مهم‌تر تخریب‌نکردن نمونه‌ها(Linke et al., 2004, pp 172-178)، استفاده شده‌است. این روش انواع گوناگونی را برای مطالعات باستان‌سنجی ارائه می‌دهد؛ نظیر: پیکسی متuarف، پیکسی بااریکه خارجی<sup>۶</sup>، میکروپیکسی<sup>۷</sup> و فلورسنس پرتوی ایکس ناشی از پروتون<sup>۸</sup>(لامعی رشتی، ۱۳۸۲، صص ۹۲-۷۵). پیکسی متuarف روشهای متداول برای تجزیه عنصری نمونه‌های همگن از جمله سکه‌ها محسوب می‌شود؛ بنابراین پایه پژوهش حاضر بر پیکسی متuarف قرار گرفت. در نمونه‌های همگن، ترکیبات تشکیل‌دهنده نمونه به صورت یکنواخت توزیع می‌شود و در صورت غیرهمگن بودن نمونه‌ها می‌توان از روش‌های دیگر مانند میکروپیکسی و... استفاده کرد(اسماعیلزاده‌کیوی، ۱۳۹۲، ص ۲۸).

سکه‌های مورد مطالعه، به مجموعه شخصی سیدحسن سادات رضوی (حیدرآباد، ایالت تلانگانا، هند) متعلق است که به‌رسم امانت در اختیار نویسنده‌گان قرار گرفت. این سکه‌ها در تاریخ‌های ۱۲۶۵-۱۲۶۷، ۱۲۶۹-۱۲۷۳، ۱۲۷۶، ۱۲۸۴-۱۲۸۶، ۱۲۸۷، ۱۲۸۹، و ۱۲۹۲-۱۲۹۴ در استرآباد ضرب شده‌اند و از نظر تاریخ ضرب<sup>۹</sup> ۲۲ سکه متفاوت را دربر می‌گیرند. از هر تاریخ ضرب، یک سکه در نظر گرفته شد و در مؤسسه فیزیک بوانسور<sup>۱۰</sup>(ایالت اوریسا، هند)، با روش پیکسی آزمایش شد.

## پیشینه‌پژوهش

با تأسیس بانک شاهنشاهی ایران و معلوم نبودن ارزش دقیق سکه‌های نقره‌ضراب خانه‌های محلی، رابینو(رئیس وقت بانک شاهنشاهی) شخصی را برای تجزیه عنصری قران‌های نقره عصر ناصری مأمور کرد تا فهرستی از ارزش واقعی سکه‌های نقره نسبت به فرانک فرانسه تهیه شود. پیکن از بیشتر ضراب خانه‌های محلی، سکه‌ای تهیه کرد و آن‌ها را با روش‌های سنتی تجزیه کرد؛ رابینو نیز نتایج آن را در سال ۱۸۹۲ م(۱۳۰۹ق) در مقاله‌ای با عنوان «بانکداری در ایران»<sup>۱۱</sup> چاپ کرد(Rabino, 1892, pp 1-56). در زمینه مطالعات سکه‌شناسی این دوره نیز، برای اولین بار رابینو دی بورگوماله به مطالعه درباره سکه‌های ایران از دوران صفوی به بعد پرداخت و نتایج کار خود را در سال ۱۹۴۵ م در کتابی با عنوان «سکه‌ها، مدال‌ها، و مهرهای شاهان ایران (۱۵۰۰-۱۹۴۱م)»<sup>۱۲</sup> منتشر کرد(Rabino).



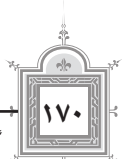
di Borgomale, 1945 (پس از آن، فرج‌بخش در سال ۱۳۵۴ ش کتابی ارزشمند را به نام «راهنمای سکه‌های ضربی (چکشی) ایران از سال ۹۰۰ تا ۱۲۹۶ق / ۱۵۰۰-۱۸۷۹م» منتشر کرد (فرج‌بخش، ۱۳۵۴). دو کتاب معتبر عمومی نیز به نام‌های «فهرست واره‌سکه‌های اسلامی»<sup>۱</sup> (Album, 2011) و «کاتالوگ استاندارد سکه‌های جهانی»<sup>۲</sup> (Michael, ۱۹۰۰-۱۸۰۱م)<sup>۳</sup> (2015)، اطلاعات مهمی را درباره سکه‌های ایرانی عصر ناصری در خود جای داده‌اند. در مطالعات ساختاری نظام پولی عصر ناصری نیز، بهترین کتاب را باید «تاریخ پولی ایران از صفویه تا قاجاریه»<sup>۴</sup> دانست که به سال ۲۰۱۳م انتشار یافته‌است (مته و دیگران، ۱۳۹۶)؛ زیرا نگارندگان آن نحوه عملکرد ضراب خانه‌های محلی و سیاست‌های پولی را به خوبی بازسازی کرده‌اند. از نظر رویکردی مقاله «تجزیه عنصری سکه‌های پیروز ساسانی به‌روشن پیکسی، مطالعه موردي: سکه‌های گنجینه پیروزگت کشف شده از روتای تیس چابهار» مشابه مقاله حاضر چاپ شده و تحلیل‌های آن به‌مانند این مقاله بر عناصر نقره، مس، و آهن استوار است و به عناصر سرب و طلا در تعیین نوع معادن سروزیت<sup>۵</sup> و گالنان<sup>۶</sup> نیز اشاره‌ای داشته‌است (کیان‌زادگان و دیگران، ۱۳۹۸).

## ۲. ناکارآمدی ساختاری نظام پولی

براساس تفکر جدید، نظام پولی میانه دوره قاجار، یعنی عصر ناصری بسیار عجیب و غیرمنطقی می‌آید. پول‌ها و واحدهای پولی این دوره از مکانی به مکان دیگر و از زمانی به زمان دیگر و هم‌چنین از نظر نرخ تبدیل تفاوت‌های فراوانی داشت. راهکار ایرانیان برای سازگاری با این وضعیت این بود که دائمًا به محاسبه و تبدیل انواع نقد و اقلام نرخ‌های محلی و استاندارد می‌پرداختند (مته و دیگران، ۱۳۹۶، ص ۲۸۱).

ابوت مشاهده کرد که بسیاری از شهروها پول رایج خود را دارند؛ گرچه خاطرنشان می‌کند که معیار معمول در تجارت، پول رایج رسمی بود. برای نمونه با توجه به نوشتة او، یزد در سال‌های ۱۸۴۹-۱۸۵۰م (۱۲۶۵-۱۲۶۶ق) پول رایج خود را داشت که «از جاهای دیگر متفاوت بود؛<sup>۷</sup> شاهی صاحب‌قران حساب می‌شد و ۱۲,۵ قران رایج در آنجا برابر با یک تومان است (در حالی که هر ۱۰ قران باید یک تومان باشد). این پول رایج در معاملات کوچک مورد قبول است، اما در تجارت، قران<sup>۸</sup> شاهی ملاک است». به گفته او در کرمان «پول محل قران<sup>۹</sup> شاهی و ۳,۵ پنابادی<sup>۱۰</sup> است و شاهی کرمان یک سکه قران معیار است». یا درباره پول رایج اصفهان «شاهی یک قران بود، اما در معاملات تجاری پول رایج متداول ایران موردنسبت است» (Abbott, 1983, pp 82, 85, (104, 117).

1. Checklist of Islamic Coins
2. Standard Catalog of World Coins 1801-1900
3. The Monetary History of Iran: From the Safavids to the Qajars
4. Cerussite
5. Galena
۶. پناباد/panābād: سکه نقره به وزن نیم مثقال (نصف قلن) که در زمان قاجار رواج داشته‌است. این سکه را رئیس ایل جوان‌شهر در پناه آباد (قلعه‌شوشی) ضرب کرده بود.

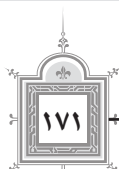


دست کم تا زمان راه اندازی ضرائب خانه مدرن در سال ۱۲۹۴ ق بخشی از دلیل این تغییرات آن بود که ضرائب خانه های محلی به سادگی با معیارهای رسمی در زمینه وزن و عیار کنار نمی آمدند. پیکن در همان عصر نمونه هایی از سکه های ضرائب خانه های محلی را بررسی کرده است (جدول ۱) و رایینو خلاصه این بررسی را این گونه آورده است: «این شکل ها نشان دهنده نبود ترتیبی خاص در پول رایج ایرانی است. میان قران های همدان و تهران بیش از ۱۷٪ اختلاف ارزش وجود دارد. میان قران های دیگر شهرها و پایتخت از نظر پولی تفاوت بسیار قابل توجه است؛ گرچه کمتر از آن چیزی است که به طور افراطی نقل می شود» (Rabino, 1892, p37).

ضرائب خانه	تاریخ ضرب	وزن	عيار در هزار	ارزش به فرانک
همدان	م ۱۸۷۳/ق ۱۲۹۳	گرم ۴/۹۵	۷۶۰	۰/۸۳۶
تبریز	م ۱۸۷۴/ق ۱۲۹۰	گرم ۴/۹۰	۸۲۰	۰/۸۹۳
کاشان	م ۱۸۶۶/ق ۱۲۸۲	گرم ۵/۰۳	۸۲۰	۰/۹۱۷
اصفهان	م ۱۸۷۷/ق ۱۲۹۳	گرم ۵/۰۲	۸۴۰	۰/۹۳۷
کرمان	م ۱۸۷۷/ق ۱۲۹۳	گرم ۴/۹۰	۸۴۰	۰/۹۱۵
مازندران(طبرستان)	م ۱۸۷۶/ق ۱۲۹۲	گرم ۴/۹۷	۸۴۰	۰/۹۲۸
مشهد	م ۱۸۷۷/ق ۱۲۹۳	گرم ۴/۹۰	۸۴۰	۰/۹۱۰
کملشاه	م ۱۸۶۶/ق ۱۲۸۲	گرم ۴/۹۷	۸۰	۰/۹۷۲
رشت	م ۱۸۶۴/ق ۱۲۸۰	گرم ۴/۸۰	۸۹۰	۰/۹۴۹
تهران	م ۱۸۷۶/ق ۱۲۹۲	گرم ۵/۰۲	۹۰۰	۱/۰۰۴
شیراز	م ۱۸۷۵/ق ۱۲۹۱	گرم ۴/۹۰	۹۰۰	۰/۹۸۰
یزد	م ۱۸۶۲/ق ۱۲۷۸	گرم ۴/۹۷	۹۰۰	۰/۹۹۴
هرات	م ۱۸۶۱/ق ۱۲۷۷	گرم ۴/۹۰	۹۰۰	۰/۹۸۰

## جدول ۱

نمونه وزن و عیار قران های نقره در  
ضرائب خانه های چند منطقه  
(Rabino, 1892, p37)

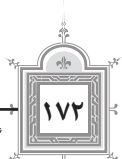


اما حتی زمانی که ضراب خانه مدرن هم ضرب سکه‌هایی با وزن و عیار یکسان را آغاز کرد، نظام پولی منطقه‌ای به کار خود ادامه می‌داد. لندور که در سال ۱۹۰۱ م (۱۳۱۹ق) در ایران مسافرت می‌کرد، دریافت که «هرگز نمی‌دانم که ارزش یک قران دقیقاً چقدر است و در هر ایالتی در مقابل قران‌های، شاهی‌های متفاوتی دریافت کردم» (Landor, 1902, vol. 1, p131). بردلی برت نیز در سال ۱۹۱۰ م (۱۳۲۸ق) گلایه داشت که: «ناپایداری نرخ بانکی ایران بی‌شک برای هر کسی به‌جز یک بانکدار هم‌چون یک راز است. همه آنچه که می‌توانستم در این‌باره کشف کنم این بود که هرچه در ایران پیشتر می‌رفتم، [ارزش پول] به‌طور پیوسته پایین می‌آمد. در حالی که من در بوشهر برای هر ۱۵ روپیه ۵۱ قران دریافت کردم، وقتی به تهران رسیدم تنها ۴۷ قران گرفتم؛ در حالی که کمی پیشتر در آنجا به من گفته شد که نرخ روی مبلغ بالای ۶۰ قران ایستاده است» (BradleyBirt, 1909, pp 52-53).

### ۳. کلیاتی درباره قران‌های نقره ضرب دستی (۱۲۹۶-۱۲۶۴ق)

سکه‌های دوره قاجار به صورت ضرب دستی می‌شدند. طبق نیاز اقتصادی هر شهر و ایالت ضراب خانه‌ای دایر بود و میزان تولید سکه‌ها بر حسب توان مالی رقم می‌خورد. ضراب خانه‌های عصر ناصری را می‌توان در سه گروه جای داد: ۱. فعل ترین ضراب خانه‌ها: مشهد، تبریز، تهران، اصفهان، شیراز؛ ۲. ضراب خانه‌های فعل: همدان، قزوین، استرآباد، طبرستان، کرمان، کاشان، رشت، یزد، کرمانشاه؛ ۳. ضراب خانه‌های تشریفاتی: هرات، خوی، سرخس، سیستان (۷۹۴-۸۰۴)، آین ضراب خانه‌ها براساس موقعیت، سکه‌هایی از جنس طلا، نقره، و مس با واحدهای پولی و وزنی متفاوتی ضرب می‌کردند. البته چون هدف پژوهش حاضر قران‌های نقره است، در ادامه فقط به ذکر واحدهای پولی و وزنی سکه‌های نقره پرداخته می‌شود.

در اوایل دوران سلطنت محمد شاه (۱۲۵۱-۱۲۶۴ق)، یعنی در سال ۱۲۵۴ق اوزان قران‌های نقره از تومان (۱۰,۰۰۰ دینار) ۰۰۰ نخودی (۵۷/۶ گرم) به تومان ۰۰۰ نخودی (۵۳/۵۶ گرم) کاهش یافت و این نظام وزنی تا سال ۱۲۷۴ق، یعنی اوایل سلطنت ناصرالدین شاه نیز ادامه یافت. در سال ۱۲۷۱ق تصمیم بر آن شد تا دوباره از وزن سکه‌های نقره کاسته شود؛ بنابراین وزن این سکه‌ها از تومان ۰۰۰ نخودی به تومان ۰۰۰ نخودی (۴۹/۹۲ گرم) بدلت شد (Album, 2011, pp 291-296) (جدول ۲). سرانجام در سال ۱۲۹۴ق ضرب سکه به صورت ماشینی درآمد و ضرب سکه دستی متوقف شد؛ ولی بنابر اعتراضات ضرب دستی سکه با شرایطی در برخی از ضراب خانه‌ها ادامه یافت که نهایت در سال ۱۲۹۶ق به‌طور کامل برچیده شد (مته و دیگران، ۱۳۹۶، صص ۲۷۲-۲۷۳).



توضیحات	تومان ۲۶۰ نخودی	تومان ۲۸۰ نخودی	گردش مالی	واحدهای پولی
ضرب مناسبتی و برخی یکرو	۰/۶۲ گرم	۰/۶۷ گرم	رایج	۱۲۵ شاهی/ ۵ دینار
	۱/۲۴ گرم	۱/۳۴ گرم	رایج	۲۵۰ شاهی/ ۵ دینار
	۲/۴۹ گرم	۲/۶۸ گرم	رایج	۵۰۰ شاهی/ ۱۰ دینار
	۴/۹۹ گرم	۵/۳۷ گرم	رایج	۱۰۰۰ قرانی/ ۱ دینار
فقط تبریز، ۱۲۹۴ق	۹/۹۸ گرم	---	غیررایج	۲۰۰۰ قرانی/ ۲ دینار
فقط تهران، ۱۲۶۷ق	---	۲۶/۸۸ گرم	غیررایج	۵۰۰۰ قرانی/ ۵ دینار

جدول ۲

واحدهای پولی و اوزان سکه‌های ضرب  
دستی نقہ عصر ناصری (Album) 2011, pp 291-296; Michael, 2015,  
pp 794-804; Heritage Auctions,  
(6-7 Jan 2013, Lot 21933-21934

#### ۴. معرفی سکه‌های آزمایش شده

طرح قران‌های ناصرالدین‌شاهی ضرب شده در استرآباد (شکل ۱)، شبیه سایر سکه‌های این عصر در ضراب خانه‌های دیگر است. به صورت معمول بر روی این سکه‌ها عبارت «السلطان ابن السلطان ناصرالدین‌شاه قاجار» نگاشته شده است و پشت این سکه‌ها نیز عبارت «ضرب دارالمؤمنین استرآباد» به همراه تاریخ ضرب سکه نقر شده است (فرح بخش، ۱۳۵۴، صص ۱۰۸-۱۰۹).



شکل ۱

بخش از سکه‌های آزمایش شده: ن  
موئنهای ۱۹، ۱۶، ۹ و ۲۱ (نگارنگان)



سکه‌های آزمایش شده در این پژوهش از مجموعه شخصی سیدحسن سادات رضوی امانت گرفته شده است. سکه‌های ناصرالدین‌شاهی استرآباد، میان سال‌های ۱۲۶۵-۱۲۶۷، ۱۲۷۳-۱۲۷۶، ۱۲۸۴-۱۲۸۹، ۱۲۸۷، ۱۲۹۲-۱۲۸۹ ق ضرب شده است (Album, 2011, pp 22-291; Michael, 2015, p 796) و در مجموع از نظر تاریخ ضرب ۲۲ سکه متفاوت را دربر می‌گیرد. از هر تاریخ ضرب، یک سکه برای آزمایش در نظر گرفته شد و در کل بر روی ۲۲ سکه آزمایش پیکسی انجام شد. مشخصات کامل سکه‌های انتخابی به ترتیب تاریخ‌های ضرب، در جدول ۳ آمده است.

شماره نمونه	تاریخ ضرب	وزن سکه	شماره نمونه	تاریخ ضرب	وزن سکه
۱	۱۲۶۵ ق	۵/۲۹ گرم	۱۲	۱۲۷۹ ق	۴/۸۹ گرم
۲	۱۲۶۶ ق	۵/۲۸ گرم	۱۳	۱۲۸۰ ق	۴/۹۰ گرم
۳	۱۲۶۷ ق	۵/۳۹ گرم	۱۴	۱۲۸۱ ق	۴/۹۳ گرم
۴	۱۲۶۹ ق	۵/۳۱ گرم	۱۵	۱۲۸۲ ق	۴/۸۲ گرم
۵	۱۲۷۰ ق	۵/۱۱ گرم	۱۶	۱۲۸۳ ق	۴/۸۶ گرم
۶	۱۲۷۱ ق	۵/۲۵ گرم	۱۷	۱۲۸۴ ق	۴/۹۱ گرم
۷	۱۲۷۲ ق	۵/۲۳ گرم	۱۸	۱۲۸۷ ق	۴/۸۳ گرم
۸	۱۲۷۳ ق	۴/۹۸ گرم	۱۹	۱۲۸۹ ق	۴/۸۸ گرم
۹	۱۲۷۶ ق	۴/۸۸ گرم	۲۰	۱۲۹۰ ق	۴/۹۱ گرم
۱۰	۱۲۷۷ ق	۴/۹۲ گرم	۲۱	۱۲۹۱ ق	۴/۹۵ گرم
۱۱	۱۲۷۸ ق	۴/۹۵ گرم	۲۲	۱۲۹۲ ق	۴/۹۹ گرم

### جدول ۳

مشخصات سکه‌های آزمایش شده  
(نگارندگان)

## ۵. روش آزمایش پیکسی

آمده کردن نمونه‌ها یکی از مشکلات اساسی در آزمایش پیکسی است. برای تجزیه عنصری بهتر و دقیق تر نمونه‌ها، در بسیاری از موقع ترجیح داده می‌شود تا از نمونه‌های نازکی استفاده شود که از نمونه‌های ضخیم به دست می‌آید. اگر به دست آوردن نمونه نازک از نمونه ضخیم مشکل و در عمل غیرممکن باشد، نمونه ضخیم خود مستقیم تحت تابش



باریکه پروتون قرار می‌گیرد (Johansson & Johansson, 1976, pp 473-516). در اینجا نیز تهیه نمونه نازک از سکه‌ها به دلیل تخریب نمونه، امکان پذیر نبود؛ بنابراین باریکه پروتون مستقیم بر سکه‌ها تابانده شد.

وقتی تجزیه عنصری روی مقادیر نسبی عناصر (از نظر وزن) انجام می‌شود، روش است که باید به مقدار آلودگی نمونه‌ها توجه شود. به دلیل نگرانی از یونیزاسیون<sup>۱</sup> سطح سکه‌های نقره (با آلیاژی از مس)، به دلیل پاکسازی غیراصولی (Beck et al., 2004, pp 153-162)، سکه‌های این پژوهش آلودگی سطحی نداشتند و صرفاً با آب مقطر شست و شو شدند. با اینکه مقدار برخی از عناصر بسیار ناچیز است، ولی اگر در گذاشت و برداشت نمونه توجه زیادی اعمال نشود، آلودگی‌هایی هرچند کم مقدار نیز ممکن است به سادگی به هدف برسند؛ بنابراین باید در انتقال نمونه‌ها دقت داشت و آن را به حداقل رساند و حتی می‌توان نمونه‌ها را قبل از قراردادن در محفظه، در صورت امکان با مواد تمیز کننده، از قبیل الکل و... تمیز کرد (کیانزادگان، ۱۳۹۷، ص ۵).

نکات گوناگونی در آزمایش پیکسی در نظر گرفته می‌شود تا میزان خلوص مطلق اجزای اصلی و عناصر کم مقدار نمونه‌ها به خوبی تعیین شود (Ishii & Morita, 1988, pp 209-216). با توجه به مطالعات انجام شده، بهترین حالت تعیین مقدار عناصر، بر استفاده از انرژی MeV بر پروتون با توجه به ماتریس عنصر اصلی نمونه مورد آزمایش، استوار است (Roumié et al., 2005, pp 584-590)؛ از این رو در این پژوهش از شتاب دهنده متناوب پلترون ۱,۷ MV<sup>۲</sup> مؤسسه فیزیک بوانسور استفاده شد.

قدم بعدی قراردادن نمونه‌ها در محفظه آزمایش در قسمت نگهدارنده چرخی نمونه هدف بود که با کامپیوتر و از طریق موتور پله‌ای<sup>۳</sup> قابل کنترل بود. محفظه نمونه‌ها دارای چندین درگاه برای عملکردهای متفاوت است که دو عملکرد مهم آن برای «تجزیه عنصری پیکسی» و «طیف‌سنجی بازتابی رادرفورده»<sup>۴</sup> است (Ben Abdelouahed et al., 2010, pp 59-64). پس از قرارگرفتن نمونه‌ها در محفظه آزمایش، برای جلوگیری از افت انرژی پروتون و تضعیف پرتوی ایکس گسیلی از نمونه هدف، هوای محفظه آزمایش باید تخلیه شود و خلاصی در حدود 10<sup>-7</sup>Torr<sup>۵</sup> ایجاد شود که معمولاً این عمل با استفاده از پمپ‌های چرخشی و دیفیوژنی<sup>۶</sup> انجام می‌شود (Gaschen et al., 2008, pp 535-552).

سپس باریکه‌ای از انرژی (در اینجا 3MeV<sup>۷</sup> بر پروتون) از داخل محفظه و اکتش عبور می‌کند و نمونه هدف در مقابل باریکه قرار می‌گیرد. باریکه پس از برخورد به نمونه هدف در صورتی که نمونه نازک باشد، از آن عبور می‌کند و داخل فنجان فارادی<sup>۸</sup> که به جمع‌کننده بار متصل است متوقف می‌شود (ولیایی و دیگران، ۱۳۹۴، ص ۲۱). در دریچه تعییشده در محفظه قرارگیری

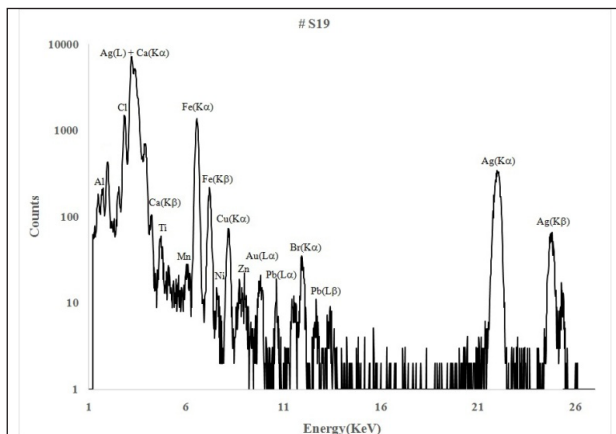
1. Ionization
2. Mega Electron Volt
3. Tandem Pelletron Accelerator
4. Mega Volt
5. Stepper Motor
6. Rutherford Back-Scattering Spectrometry, RBS
7. تور یکی از گاکاهای غیر SI برای اندازه‌گیری فشار است. ۱ امسفر استاندارد برابر ۷۶۰ تور است. این یکا به گونه‌ای گزینش شده است که با تقریب خوبی برابر با فشار حاصل از یک میلی‌متر جیوه باشد؛ بنابراین فشار ۱ تور تقریباً برابر با فشار حاصل از یک میلی‌متر جیوه است. این یکا به یاد اوانجلیستا تورپول (Evangelista Torricelli)، فیزیکدان و ریاضی‌دان ایتالیایی-که اصول عملکرد فشارسنج را در ۱۶۴۴ م کشف کرد-نامگذاری شده است.
8. Diffusion Pump
9. Faraday Cup



نمونه هدف و در راستای زاویه  $135^{\circ}$  مسیر پرتو، آشکارساز (Li) ORTEC Si (Li) جمع‌کننده پرتوهای موادی (5.9 keV در  $30\text{mm}^3$  با  $30\text{mm}^3$  پهنه فعال و  $12.7\text{ }\mu\text{m}$  ضخامت پنجره Be، برای شناسایی پرتوهای ایکس انتشاریافته از نمونه‌های موردآزمایش، قرار گرفته است که امکان شناسایی عناصر سبک و سنگین را هم‌زمان فراهم می‌آورد Ben Ab- (delouahed et al., 2010, pp 59-64). برای دقت بیشتر در این امر پیشنهاد می‌شود که فیلتری آلومینیومی در مقابل پنجره آشکارساز قرار داده شود (Roumié et al., 2006, pp 612-615).

مشخصه بار پرتو در نمونه، به وسیله تقویت‌کننده یکپارچه بار و با اتصال به شمارنده‌ای دیجیتال اندازه‌گیری می‌شود. در اینجا برای جلوگیری از اختلال در عملکرد آشکارساز بهتر است جریان پرتو را پایین‌تر از  $3\text{nA}^{\circ}$  نگه داشت. سیگنال‌های آشکارساز تشکیل و تقویت می‌شود و سرانجام از طریق تحلیل ارتفاع پالس، طیف انرژی در تحلیلگری چند کاناله ذخیره می‌شود و نمایش داده می‌شود (Ben Abdelouahed et al., 2010, pp 59-64).

(شکل ۲).



شکل ۲

نمونه‌ای از طیف‌های پیکسی، نمونه شماره ۱۹ (نگارندگان)

## ۶. یافته‌های نتایج

برای پردازش طیف‌های به دست آمده و تبیین مقدار خلوص عناصر سکه‌ها از نرم‌افزار گوپیکس<sup>۱</sup> استفاده می‌شود (Maxwell et al., 1995, pp 407-421). این نرم‌افزار برای این تحلیل، از دست‌رفتن انرژی  $3\text{MeV}$  بر پرتو، تغییر سطح مقطع تولید پرتوی ایکس با کاهش انرژی پرتو، جذب پرتوی ایکس از اعماق مختلف و تأثیر عنصری آن (تقویت اثر پرتوی ایکس) را مدنظر قرار می‌دهد. این نرم‌افزار از تمام مشخصات پرتوهای ایکس وارد شده در آشکارساز Si (Li) با هدف تولید منحنی نظری استفاده می‌کند؛ هم‌چنین قله کمینه، قله بیشینه، و توالی کم‌انرژی پرتوهای ایکس را محاسبه می‌کند (Ben Abdelouahed et al., 2010, pp 59-64).

1. Electron Volt
2. Kilo Electron Volt
3. Square Milli Metre
4. Micro Metre
5. Nano Ampere
6. GUPIX

برای محاسبه مقدار خلوص عناصر در سکه‌ها، هر طیف از نظر کیفی مشخص می‌شود تا جریان‌های مختلف پرتوی ایکس عناصر موجود در طیف و بارکلی<sub>p</sub> را که بر پروتون‌های N<sub>p</sub> حمل شده است به گوپیکس معرفی کند ( $N_p \mu^C = 1.6 \cdot 10^{-13} Q_p$ ). سپس داده‌های ورودی در برنامه‌ای با هدف تولید طیف نظری با تمام عناصر قابل مشاهده، استفاده می‌شوند. محاسبه نظری شدت جریان تابش پرتوی ایکس (Z)<sub>I</sub>، مبتنی بر فرض نمونه همگن و مسطح است. با توجه به روش این آزمایش، باریکه پروتون به صورت مکرر در زاویه  $\Phi$  برابر  $45^\circ$  با سطح سکه در معرض جریان ذرات قرار می‌گیرد و آشکارساز پرتوی ایکس با زاویه  $\theta$  برابر با  $135^\circ$  درجهٔ باریکه پروتون قرار می‌گیرد و زاویه سه‌بعدی کوچکی را می‌سازد. محاسبه نظری شدت جریان تابش پرتوی ایکس از عنصر Z موجود با میزان خلوص C<sub>Z</sub>، با ضخامت حجمی  $d\delta$  در عمق  $\delta$  پشت سطح سکه، به دلیل تعدادی از پروتون‌های N<sub>p</sub>، به خوبی توسط انتگرال ضخامت روی سکه، محاسبه و تشریح می‌شود:

$$I_t(Z) = N_p \frac{C_Z N_{av}}{A_Z} \omega_Z \frac{\tau_Z}{\tau} \varepsilon_Z f_Z \int \sigma_Z(\delta, E_P) e^{-\mu_Z \delta / \tan \varphi} d\delta$$

این فرمول کاهش انرژی باریکه پروتون E<sub>p</sub> وارد شده به نمونه و تضعیف پرتوهای تابشی ایکس عناصر را درجهٔ آشکارساز محاسبه می‌کند (Ben Abdelouahed et al., 2010). در فرمول بالا ( $\delta, E_p$ ) با بخش مقطع یونیزاسیون ارتباط دارد ولی با عمق  $\delta$  متفاوت است و به دلیل ازدست دادن انرژی dE<sub>p</sub> از باریکه‌های پروتون به دست آمده است. در اینجا  $\omega_Z$  عملکرد فلورسنس،  $\tau_Z/\tau$  کسری از کل انتشار پرتوی ایکس از خط تجزیه شده، A<sub>Z</sub> جرم اتمی عنصر در نظر گرفته شده، N<sub>av</sub> عدد آwooگادرو، μ<sub>Z</sub> ضریب جذب پرتوی ایکس تابشی، ε<sub>Z</sub> بازده آشکارساز، و f<sub>Z</sub> مربوط به کسری از تضعیف حاصل از فیلتر آلومنیومی است که در جلوی آشکارساز قرار گرفته است (Ben Abdelouahed et al., 2009). (pp 37-44)

برای دقیق‌تر شدن تجزیه و تحلیل داده‌های طیفی، باید گوپیکس را با نتایج تجزیه دو سکه معاصر، یعنی قسمت داخلی سکه‌های یورو کالیبره<sup>®</sup> کرد؛ چرا که در قسمت‌های داخلی سکه‌های یک‌یورویی (۷۵٪ مس و ۲۵٪ نیکل) و دویورویی (۷۵٪ مس، ۲۰٪ روی، و ۵٪ نیکل) مقادیر خلوص عناصر به خوبی تعریف شده است و می‌تواند به عنوان استانداردی مرجع استفاده شود. مرحله کالیبراسیون برای به دست آوردن ضریب کالیبراسیون، معروف به مقدار H انجام می‌شود (Denker et al., 2005, pp 376-380) که به شدت محاسبه شده (از پایگاه داده گوپیکس (Z)<sub>I</sub> از خط پرتوی ایکس تابشی

1. Avogadro constant

2. Calibration



عنصر Z محاسبه شده با  $I_m(z) = H I_z(Z)$  مربوط می‌شود (Shariff et al., 2002, pp 131-137). آخرین مرحله تعریف روش آزمایش برای گوپیکس به دلیل متناسب ساختن طیف اولیه آزمایش است تا مقادیر عناصر تشکیل دهنده نمونه در رایانه آشکار شود.

نتایج تجزیه عنصری ۲۲ سکه آزمایش شده، در جدول ۴ آمده است:

Pb	Hg	Au	Ag	Br	Zn	Cu	Ni	Fe	Mn	Ti	Ca	Cl	S	Si	Al	Tاریخ	شماره
۰/۹۳	۰/۷۰	۱/۰/۱۱	۰/۱۹	۴/۳۹	۳/۷۴	۰/۹	۰/۹۰	۰/۹۰	۰/۹۰	۰/۹۰	۰/۹۰	۰/۹۰	۰/۹۰	۰/۹۰	۰/۹۰	۱۴۵	۱
۰/۹۳	۰/۷۰	۱/۰/۱۰	۰/۱۹	۴/۳۹	۳/۷۴	۰/۹	۰/۹۰	۰/۹۰	۰/۹۰	۰/۹۰	۰/۹۰	۰/۹۰	۰/۹۰	۰/۹۰	۰/۹۰	۱۴۶	۲
۰/۹۳	۰/۷۰	۱/۰/۰۹	۰/۱۹	۴/۳۹	۳/۷۴	۰/۹	۰/۹۰	۰/۹۰	۰/۹۰	۰/۹۰	۰/۹۰	۰/۹۰	۰/۹۰	۰/۹۰	۰/۹۰	۱۴۷	۳
۰/۹۳	۰/۷۰	۱/۰/۰۸	۰/۱۹	۴/۳۹	۳/۷۴	۰/۹	۰/۹۰	۰/۹۰	۰/۹۰	۰/۹۰	۰/۹۰	۰/۹۰	۰/۹۰	۰/۹۰	۰/۹۰	۱۴۸	۴
۰/۹۳	۰/۷۰	۱/۰/۰۷	۰/۱۹	۴/۳۹	۳/۷۴	۰/۹	۰/۹۰	۰/۹۰	۰/۹۰	۰/۹۰	۰/۹۰	۰/۹۰	۰/۹۰	۰/۹۰	۰/۹۰	۱۴۹	۵
۰/۹۳	۰/۷۰	۱/۰/۰۶	۰/۱۹	۴/۳۹	۳/۷۴	۰/۹	۰/۹۰	۰/۹۰	۰/۹۰	۰/۹۰	۰/۹۰	۰/۹۰	۰/۹۰	۰/۹۰	۰/۹۰	۱۵۰	۶
۰/۹۳	۰/۷۰	۱/۰/۰۵	۰/۱۹	۴/۳۹	۳/۷۴	۰/۹	۰/۹۰	۰/۹۰	۰/۹۰	۰/۹۰	۰/۹۰	۰/۹۰	۰/۹۰	۰/۹۰	۰/۹۰	۱۵۱	۷
۰/۹۳	۰/۷۰	۱/۰/۰۴	۰/۱۹	۴/۳۹	۳/۷۴	۰/۹	۰/۹۰	۰/۹۰	۰/۹۰	۰/۹۰	۰/۹۰	۰/۹۰	۰/۹۰	۰/۹۰	۰/۹۰	۱۵۲	۸
۰/۹۳	۰/۷۰	۱/۰/۰۳	۰/۱۹	۴/۳۹	۳/۷۴	۰/۹	۰/۹۰	۰/۹۰	۰/۹۰	۰/۹۰	۰/۹۰	۰/۹۰	۰/۹۰	۰/۹۰	۰/۹۰	۱۵۳	۹
۰/۹۳	۰/۷۰	۱/۰/۰۲	۰/۱۹	۴/۳۹	۳/۷۴	۰/۹	۰/۹۰	۰/۹۰	۰/۹۰	۰/۹۰	۰/۹۰	۰/۹۰	۰/۹۰	۰/۹۰	۰/۹۰	۱۵۴	۱۰
۰/۹۳	۰/۷۰	۱/۰/۰۱	۰/۱۹	۴/۳۹	۳/۷۴	۰/۹	۰/۹۰	۰/۹۰	۰/۹۰	۰/۹۰	۰/۹۰	۰/۹۰	۰/۹۰	۰/۹۰	۰/۹۰	۱۵۵	۱۱
۰/۹۳	۰/۷۰	۱/۰/۰۰	۰/۱۹	۴/۳۹	۳/۷۴	۰/۹	۰/۹۰	۰/۹۰	۰/۹۰	۰/۹۰	۰/۹۰	۰/۹۰	۰/۹۰	۰/۹۰	۰/۹۰	۱۵۶	۱۲
۰/۹۳	۰/۷۰	۱/۰/۰۹	۰/۱۹	۴/۳۹	۳/۷۴	۰/۹	۰/۹۰	۰/۹۰	۰/۹۰	۰/۹۰	۰/۹۰	۰/۹۰	۰/۹۰	۰/۹۰	۰/۹۰	۱۵۷	۱۳
۰/۹۳	۰/۷۰	۱/۰/۰۸	۰/۱۹	۴/۳۹	۳/۷۴	۰/۹	۰/۹۰	۰/۹۰	۰/۹۰	۰/۹۰	۰/۹۰	۰/۹۰	۰/۹۰	۰/۹۰	۰/۹۰	۱۵۸	۱۴
۰/۹۳	۰/۷۰	۱/۰/۰۷	۰/۱۹	۴/۳۹	۳/۷۴	۰/۹	۰/۹۰	۰/۹۰	۰/۹۰	۰/۹۰	۰/۹۰	۰/۹۰	۰/۹۰	۰/۹۰	۰/۹۰	۱۵۹	۱۵
۰/۹۳	۰/۷۰	۱/۰/۰۶	۰/۱۹	۴/۳۹	۳/۷۴	۰/۹	۰/۹۰	۰/۹۰	۰/۹۰	۰/۹۰	۰/۹۰	۰/۹۰	۰/۹۰	۰/۹۰	۰/۹۰	۱۶۰	۱۶

#### جدول ۴

نتایج تجزیه عنصری  
سکه‌های بررسی شده به روش پیکسی  
(نگارنده‌گان)



	Pb	Hg	Au	Ag	Br	Zn	Cu	Ni	Fe	Mn	Ti	Ca	Cl	S	Si	Al	تاریخ	شماره
۱۸۱	۰/۱۷	۰/۳۵	۸۵/۵۹	۰/۱۹	۶۱/۰	۰/۲۹	۴۱/۰	۰/۱۹	۰/۱۸/۰				۰/۱۲	۰/۱۳	۰/۱۲	۱۲۸۱	۱۵	
۱۸۲	۰/۷۷	۰/۷۹	۸۵/۵۸		۷۷/۰				۰/۱۹							۱۲۸۲	۱۵	
۱۸۳	۰/۱۵	۰/۴۹	۸۵/۴۴		۸۵/۴۳				۰/۱۴	۰/۱۴						۱۲۸۳	۱۶	
۱۸۴	۰/۱۵	۰/۴۶	۸۵/۴۵		۷۷/۰				۰/۱۴	۰/۱۴						۱۲۸۴	۱۷	
۱۸۵	۰/۱۳	۰/۱۵	۸۵/۴۳		۸۵/۴۲				۰/۱۴	۰/۱۴						۱۲۸۵	۱۷	
۱۸۶	۰/۱۴	۰/۱۵	۸۵/۴۲		۸۵/۴۳				۰/۱۴	۰/۱۴						۱۲۸۶	۱۸	
۱۸۷	۰/۱۵	۰/۱۴	۸۵/۴۱		۸۵/۴۲				۰/۱۴	۰/۱۴						۱۲۸۷	۱۹	
۱۸۸	۰/۱۸	۰/۱۸	۸۵/۴۰		۸۵/۴۱				۰/۱۱	۰/۱۱						۱۲۸۸	۲۰	
۱۸۹	۰/۱۸	۰/۱۷	۸۵/۴۰		۸۵/۴۲				۰/۱۱	۰/۱۱						۱۲۸۹	۲۱	
۱۹۰	۰/۱۹	۰/۱۸	۸۵/۴۰		۸۵/۴۲				۰/۱۱	۰/۱۱						۱۲۹۰	۲۰	
۱۹۱	۰/۱۸	۰/۱۷	۸۵/۴۰		۸۵/۴۲				۰/۱۱	۰/۱۱						۱۲۹۱	۲۱	
۱۹۲	۰/۱۸	۰/۱۷	۸۵/۴۰		۸۵/۴۲				۰/۱۱	۰/۱۱						۱۲۹۲	۲۲	

#### ادامه جدول ۴

نتایج تجزیه منصري  
سکه های بررسی شده به روش  
پیکسی (نگارندگان)



## ۷. بحث و تحلیل روی یافته‌های پژوهش

بیشترین مقدار عنصری را پس از نقره (Ag)، عناصر مس (Cu)، آهن (Fe)، سرب (Pb) و طلا (Au) دارند و جزئی از تمام سکه‌ها بوده‌اند؛ بنابراین این عناصر پر تکرار را عناصر اصلی تشکیل دهندهٔ فلز سکه‌ها باید دانست. ولی هر کدام از این عناصر چگونه تحلیل می‌شود؟ ابتدا برای پاسخ به این پرسش باید پایین‌ترین و بالاترین حد مقدار هر عنصر مشخص شود (جدول ۵).

طلا	سرب	آهن	مس	نقره	*
%۰/۴۶	%۰/۶۲	%۳/۴۸	%۳/۵۷	%۸۴/۱۷	پایین‌ترین
%۰/۸۶	%۰/۹۵	%۶/۴۱	%۷/۷۵	%۹۰/۱۷	بالاترین

جدول ۵

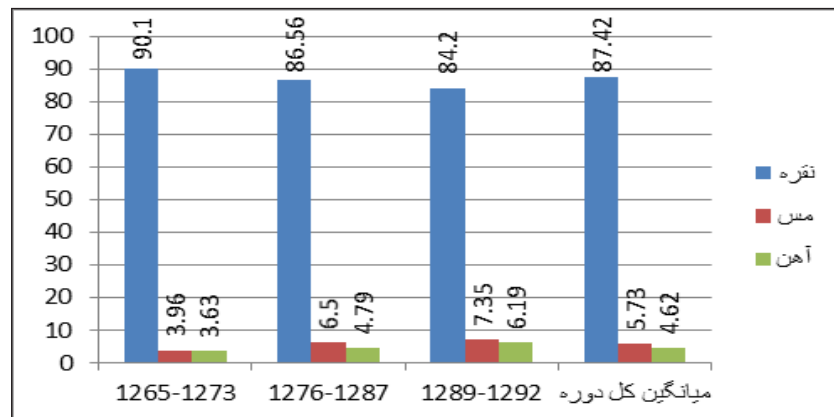
میزان حد پایین‌ترین و بالاترین مقدار  
عناصر اصلی فلز سکه‌های مورد مطالعه  
(نگارندگان)

مقدار خلوص نقره این سکه‌ها بین %۸۴/۱۷ تا %۹۰/۱۷ است که ۶٪ اختلاف بین بالاترین و پایین‌ترین حد خلوص نقره را نشان می‌دهد؛ ولی این اختلاف مقدار چگونه پدید آمده‌است؟ با توجه به جدول ۴ و ستون درصد خلوص نقره، می‌توان تغییرات خلوص نقره را در طی کل دوران ضرب این سکه‌ها مشاهده کرد؛ بین سال‌های ۱۲۶۵-۱۲۷۳ %۸۴/۱۷ و %۹۰/۱۰ است، ولی بین سال‌های ۱۲۷۶-۱۲۸۷ %۸۶/۵۶ خلوص نقره و بین سال‌های ۱۲۸۹-۱۲۹۲ %۸۴/۲۰ است که افول کیفیت و افت ارزش قران‌های ضرب استرآباد را نشان می‌دهد.

فلز مس به صورت طبیعی با مقادیری کمتر از ۲٪ در فلز سکه‌ها وجود دارد؛ ولی اگر این مقدار بیشتر از این باشد، نمی‌توان آن را طبیعی قلمداد کرد و حتماً آمیختگی اختیاری انجام شده‌است (Hughes & Hall, 1979, pp 321-344). سکه‌های پژوهش حاضر ۳/۵۷ درصد تا ۳/۷۵ مس دارد و ۴/۱۸٪ بین بالاترین و پایین‌ترین حد خلوص مس اختلاف مشاهده می‌شود. با توجه به جدول ۴ و ستون درصد خلوص مس، تغییرات خلوص مس عبارت‌اند از: بین سال‌های ۱۲۶۵-۱۲۷۳٪۳/۶ بین سال‌های ۱۲۷۶-۱۲۸۷٪۷/۳۵ که این می‌تواند نشان‌دهندهٔ آمیختگی اختیاری این فلز برای پایین‌آوردن مقدار خلوص نقره باشد. هم‌چنین عنصر آهن به طور معمول به دلیل آلودگی سطحی ناشی از محیط دفن شدن سکه‌ها در سکه‌ها وجود دارد (Flament & Marchetti, 2004, pp 179-184). سکه‌های این پژوهش از دل خاک پیدا نشده‌اند ولی میزان زیادی از آهن را در خود جای داده‌اند؛ از ۴/۳٪ تا ۶/۴۱٪ بین بالاترین و پایین‌ترین حد خلوص آهن اختلاف مشاهده می‌شود. با توجه به جدول ۴ و ستون درصد خلوص آهن، می‌توان تغییرات خلوص آهن



را بین سال‌های ۱۲۶۵-۱۲۷۳ اق با میانگین  $\frac{۹۰.۱}{۶۳}$ %، بین سال‌های ۱۲۸۷-۱۲۷۶ اق با میانگین  $\frac{۴۷.۹}{۷۹}$ % و بین سال‌های ۱۲۹۲-۱۲۸۹ اق با میانگین  $\frac{۶۷.۱}{۱۹}$ % در نظر گرفت که این نشانه‌ای از آلیاژ‌کردن آهن برای تنظیم عیار فلز سکه‌ها است.



شکل ۳

مودار تغییرات مقدار خلوص نقره، مس، و آهن بین سال‌های ۱۲۶۵-۱۲۹۴ اق

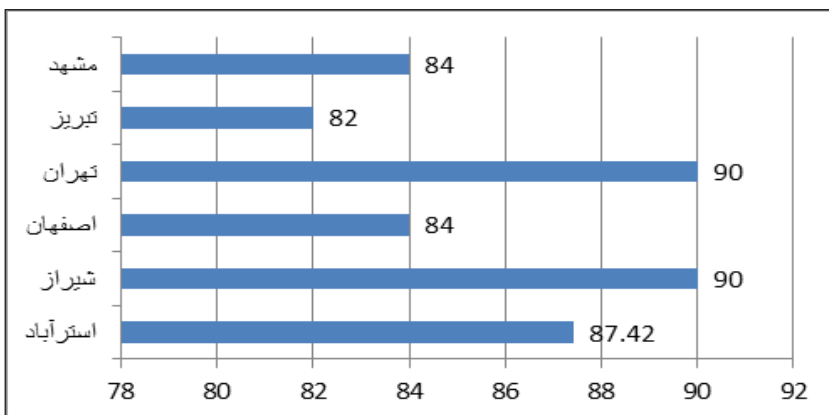
در حال حاضر حدود نصف نقره موجود در جهان از معادن سرب استخراج می‌شود (Hughes & Hall, 1979, pp 321-344)؛ بنابراین اگر سرب با مقادیر کمی (۱٪ و کمتر از آن) در سکه‌های نقره مشاهده شود، جای شگفتی نیست؛ ولی این مقدار سرب در فرآیند استحصال نقره جدا می‌شود و اگر چنین نباشد، می‌تواند نشانه تعجیل و نبود دقت کافی در استحصال فلز نقره باشد (Flament & Marchetti, 2004, pp 179-184). سکه‌های مورد پژوهش در مقاله حاضر نیز به طور میانگین  $\frac{۸۱}{۸۰}$ % سرب را در خود جای داده‌اند که استخراج نقره از معادن سرب، و تعجیل و نبود دقت کافی در استحصال نقره را نشان می‌دهد.

معادن سربی که از آن‌ها نقره نیز استخراج می‌شود در دو گروه سروزیتو گالانا قرار می‌گیرند. اگر نقره استفاده شده در سکه‌ها از معادن سروزیت به دست آمده باشد، مقدار طلای موجود در آن به طور تقریب بین  $\frac{۱}{۵}\%$  تا  $\frac{۱}{۲}\%$  متغیر است و اما اگر نقره از معادن گالانا استخراج شده باشد، مقدار طلای موجود در آن کمتر از  $\frac{۱}{۲}\%$  است (Meyers, 2003, p271). میانگین طلا در ساختار سکه‌های مورد پژوهش  $\frac{۶۸}{۸۰}\%$  است که می‌تواند نشانه استخراج نقره از معادن سروزیت باشد.

باتوجه به جدول ۱، رایینو مقدار خلوص نقره سکه‌های ضراب خانه‌های اصلی، یعنی مشهد را  $\frac{۸۴}{۸۲}\%$ ، تبریز را  $\frac{۹۰}{۸۴}\%$ ، تهران را  $\frac{۹۰}{۸۰}\%$ ، اصفهان را  $\frac{۸۰}{۸۴}\%$ ، و شیراز را  $\frac{۹۰}{۸۰}\%$  به دست آورده است (Rabino, 1892, p37). در پژوهش حاضر با آزمایش قران‌های استرآباد در تمام تاریخ‌های ضرب، روند تغییرات میزان خلوص نقره در بازه زمانی بین سال‌های



و ۱۲۶۵-۱۲۷۳ ق با میانگین  $11.90\%$ ، بین سال‌های ۱۲۷۶-۱۲۸۷ ق با میانگین  $5.56\%$  و  
بین سال‌های ۱۲۸۹-۱۲۹۲ ق با میانگین  $2.84\%$  تبیین شد و میانگین خلوص نقره‌سکه‌های  
ضرب شده در کل دوره  $4.28\%$  محاسبه شد (شکل‌های ۳ و ۴).



شکل ۴

میزان خلوص نقره‌سکه‌های ضرابخانه  
استرآباد در مقایسه با ضرابخانه‌های  
اصلی (نگارندگان)

## نتیجه‌گیری

باتوجه به نتایج آزمایش پیکسی، عنصر نقره به همراه عناصر مس و آهن فلزات اصلی سکه‌های نقره شهر استرآباد در عصر ناصری هستند که میانگین خلوص آنها در سه دوره تغییرات عمده‌ای داشته‌است:

۱۲۶۵-۱۲۷۳ ق: نقره ( $10/10$ ٪)، مس ( $96/3$ ٪)، آهن ( $3/63$ ٪)؛

۱۲۷۶-۱۲۸۷ ق: نقره ( $56/86$ ٪)، مس ( $50/6$ ٪)، آهن ( $79/4$ ٪)؛

۱۲۸۹-۱۲۹۲ ق: نقره ( $20/84$ ٪)، مس ( $35/77$ ٪)، آهن ( $19/6$ ٪)؛

میانگین کل دوره: نقره ( $42/87$ ٪)، مس ( $73/5$ ٪)، آهن ( $62/4$ ٪).

هرچند که مقدار خلوص نقره‌سکه‌های ضرب استرآباد در سه دوره کاهش یافته‌است، ولی عیار نقره سکه‌های استرآباد در کل دوران ضرب با میانگین  $4.28\%$  در مقایسه با ضرابخانه‌های اصلی، یعنی مشهد با میانگین  $2.84\%$ ، تبریز با میانگین  $5.56\%$ ، تهران با میانگین  $9.0\%$ ، اصفهان با میانگین  $11.90\%$  و شیراز با میانگین  $2.84\%$  نسبتاً خوب و بالا بوده است؛ که این به صورت عمومی نشان‌دهنده رونق و قدرت اقتصادی شهر استرآباد در عصر ناصری است.

عنصر مس به صورت طبیعی با مقادیری کمتر از  $2\%$  در فلز سکه‌ها وجود دارد؛ ولی اگر این مقدار بیشتر از این باشد، نمی‌توان آن را طبیعی قلمداد کرد و حتماً آمیختگی اختیاری انجام شده است. سکه‌های این پژوهش دارای مقدار میانگین  $5/73$ ٪ مس است

که آمینخنگی اختیاری برای عیار کردن فلز سکه را نشان می دهد. وجود عنصر آهن نیز هرچند به دلیل آلودگی سطحی ناشی از محیط دفن سکه هاست، ولی سکه های این پژوهش، سکه های پیدا شده از دل خاک نیستند و مقدار بیشتری از آهن را در خود جای داده اند. این سکه ها از مقدار میانگین  $4/62\%$  آهن برخوردارند که این نشانه ای از عیار کردن آهن برای تنظیم عیار فلز سکه هاست.

علاوه بر این وجود عنصر سرب با میانگین  $81/80\%$  در سکه ها نشانگر استفاده از معادن سرب برای استخراج فلز نقره، و تعجیل و نبود دقت کافی در استحصال آن بوده است. معادن سرب به دو گونه سروزیت و گالانا تقسیم می شوند که معادن سروزیت بین  $2/15\%$  تا  $1/5\%$  و معادن گالانا کمتر از  $2/0\%$  عنصر طلا را در خود جای داده اند. میانگین  $68/6\%$  طلا در ساختار سکه ها می تواند نشانه استخراج نقره از معادن سروزیت باشد.

## منابع

### کتاب

- عقیلی، عبدالله. (۱۳۷۷). *دارالضرب‌های ایران در دوره اسلامی*. تهران: بنیاد موقوفات دکتر محمود افشاریزی‌دی.
- فرح‌بخش، هوشنگ. (۱۳۵۴). *راهنمای سکه‌های ضربی (چکشی) ایران* ... تهران: فرج‌بخش.
- مته، رودی؛ فلور، ویلم؛ کلاوسون، پاتریک. (۱۳۹۶). *تاریخ پولی ایران: از صفویه تا قاجاریه*. (جواد عباسی، مترجم). تهران: نامک.

### مقاله

- اویایی، پروین؛ آفریده، حسین؛ آقاعلی گل، داود. (۱۳۹۴). «مطالعه آماری سکه های نقره هخامنشی، اشکانی و ساسانی با استفاده از آنالیز عنصری به روش پیکسی». *مطالعات باستان‌شناسی*, ۱(۷)، صص ۲۸-۱۷.
- خدامی نادوشن، فرهنگ؛ محقق، مریم؛ هژبری نوبری، علی‌رضا؛ مسجدی خاک، پرستو. (۱۳۹۴). «بررسی اوضاع سیاسی-اقتصادی حکومت اشکانیان در سال‌های ۵۷-۲ ق.م (دوران پادشاهی ارد دوم و فرهاد چهارم) براساس ترکیبات شیمیایی سکه های نقره با روش آزمایشگاهی PIXE». *پژوهش‌های باستان‌شناسی ایران*, ۵(۸)، صص ۵۳-۶۶.

- کیان‌زادگان، سوسن؛ رجائی، سید جلال؛ مسجدی خاک، پرستو؛ سعادت‌مهر، محمد‌امین. (۱۳۹۸). «تجزیه عنصری سکه های پیروز ساسانی به روش پیکسی (PIXE)»، مطالعه موردی: سکه های گنجینه پیروزگت کشف شده از روتای تیس چاههار». *پژوهش‌های باستان‌شناسی ایران*, ۹(۲۲)، صص ۱۸۱-۱۹۶.



لامعی رشتی، محمد. (۱۳۸۲). «نقش تحلیل عنصری در باستان‌سنجی: تجزیه آزمایشگاه و اندوگراف». چاپ شده در کتاب **مجموعه مقالات نخستین همایش باستان‌سنجی در ایران: نقش علوم پایه در باستان‌شناسی**. (مسعود آذرنوش، کوشش‌گر). تهران: سازمان میراث فرهنگی کشور (پژوهشکده باستان‌شناسی). صص ۷۵-۹۲.

#### پایان‌نامه

اسماعیل زاده‌کیوی، سینا. (۱۳۹۲). «مطالعه اشیای مکشوفه از بافت تاریخی اردبیل و محوطه تاریخی مجموعه شیخ صفی‌الدین اردبیلی با روش گسیل پرتو ایکس با تابش پروتون (PIXE)». پایان‌نامه کارشناسی ارشد، اردبیل: دانشگاه علوم دانشگاه محقق اردبیل (منتشرنشده).

کیان‌زادگان، سوسن. (۱۳۹۷). «تحلیل قدرت اقتصادی در دوره پیروز ساسانی به‌کمک آزمایش PIXE: مطالعه موردنی سکه‌های مکشوفه از پیروزگت (چابهار، بلوچستان ایران)». پایان‌نامه کارشناسی ارشد، مشهد: دانشکده ادبیات و علوم انسانی دانشگاه فردوسی مشهد (منتشرنشده).

#### منابع لاتین

- Abbott, Keith Edward. (1983). *Cities & Trade: Consul Abbott on the Economy and Society of Iran 1847-1866*. Edited by Abbas Amanat. London: Ithaca.
- Album, Stephen. (2011). *Checklist of Islamic Coins*. (3th Edition). Santa Rosa: Stephen Album Rare Coins.
- Beck, L; Bosonnet, S; Réveillon, S; Eliot, D; Pilon, F. (2004). "Silver Surface Enrichment of Silver–Copper Alloys: a Limitation for the Analysis of Ancient Silver Coins by Surface Techniques". *Nuclear Instruments and Methods in Physics Research Section B: Beam Interactions with Materials and Atoms*. 226(1-2), pp 153-162.
- Ben Abdelouahed, H; Gharbi, F; Roumié, M; Baccouche, S; Ben Romdhane, K; Nsouli, B; Trabelsi, A. (2010). "PIXE Analysis of Medieval Silver Coins". *Materials Characterization*. vol. 61(1), pp 59-64.
- Ben Abdelouahed, H; Incerti, S; Mantero, A. (2009). "New Geant4 Cross Section Models for PIXE Simulation". *Nuclear Instruments and Methods in Physics Research Section B: Beam Interactions with Materials and Atoms*. 267(1), pp 37-44.
- Bradley Birt, E. B. (1909). *Persia: Through Persia from the Gulf to the Caspian*. New York: E. P. Dutton and Co.
- Denker, Andrea; Bohne, W; Campbell, J. L; Heide, P; Hopman, T; Maxwell, J. A; Opitz-



- Coutureau, J; Rauschenberg, J; Röhrich, J; Strub, E. (2005). "High-Energy PIXE Using Very Energetic Protons: Quantitative Analysis and Cross-Sections". *X-Ray Spectrometry*. 34(4), pp 376-380.
- Flament, Christophe; Marchetti, Patrick. (2004). "Analysis of ancient silver coins". *Nuclear Instruments and Methods in Physics Research Section B: Beam Interactions with Materials and Atoms*. 226(1-2), pp 179-184.
- Gaschen, A. A-M; Döbeli, M; Markwitz, A; Barry, B; Ulrich-Bochsler, S; Krähenbühl, U. (2008). "Restrictions on Fluorine Depth Profiling for Exposure Age Dating in Archaeological Bones". *Journal of Archaeological Science*. 35(3), pp 535-552.
- Heritage Auctions. (6-7 Jan 2013). *Ancient & World Coins Signature Action*. Dallas: Heritage Auctions.
- Hughes, M. J; Hall, J. A. (1979). "X-Ray Fluorescence Analysis of Late Roman and Sasanian Silver Plate". *Journal of Archaeological Science*. 6(4), pp 321-344.
- Ishii, K; Morita, S. (1988). "Theoretical Estimation of PIXE Detection Limits". *Nuclear Instruments and Methods in Physics Research Section B: Beam Interactions with Materials and Atoms*. 34(2), pp 209-216.
- Johansson, Sven. A. E; Johansson, Thomas. B. (1976). "Analytical Application of Particle Induced X-Ray Emission". *Nuclear Instruments and Methods in Physics Research Section B: Beam Interactions with Materials and Atoms*. 137(3), pp 473-516.
- Landor, Arnold Henry Savage. (1902). *Across Coveted Lands*. vol. 1, London: Charles Scribners Son.
- Linke, Robert; Schreiner, Manfred; Demortier, Guy. (2004). "The Application of Photo, Electron and Proton Induced X-Ray Analysis for the Identification and Characterization of Medieval Silver Coins". *Nuclear Instruments and Methods in Physics Research Section B: Beam Interactions with Materials and Atoms*. 226(1), pp 172-178.
- Maxwell, J. A; Teesdale, W. J; Campbell, J. L. (1995). "The Guelph PIXE Software Package II". *Nuclear Instruments and Methods in Physics Research Section B: Beam Interactions with Materials and Atoms*. 95(3), pp 407-421.
- Meyers, P. (2003). "Production, Distribution, and Control of Silver: Information Provided by Elemental Composition of Ancient Silver Objects". *Patterns and Pro-*



- cess: a Festschrift in Honor of Dr. Edward V. Sayre.* Suitland: Smithsonian Center for Materials Research and Education. pp 271–288.
- Michael, Thomas. (2015). *Standard Catalog of World Coins 1801-1900.* (8th Edition). Iola: Krause Publications.
- Rabino di Borgomale, Hyacinth Louis. (1945). *Coins, Medals, and Seals of the Shahs of Iran, 1500-1941.* Hertford: Stephan Austin and Sons Ltd.
- Rabino, Joseph. (1892). “Banking in Persia: Its Basis, History, and Prospects”. *Journal of the Institute of Bankers*, no.13, pp 1-56.
- Roumié, M; Nsouli, B; Atalla, C; Waksman, S. Y. (2005). “Application of PIXE Using Al Funny Filter for Cluster Analysis of Byzantine Amphorae from Beirut”. *Nuclear Instruments and Methods in Physics Research Section B: Beam Interactions with Materials and Atoms*, 227(4), pp 584-590.
- Roumié, Mohamad; Reynolds, Paul; Atallah, Carol; Bakraji, Elias; Zahraman, Khaled; Nsoulia, Bilal. (2006). “Provenance Study of Excavated Pottery from Beirut Using PIXE Cluster Analysis”. *Nuclear Instruments and Methods in Physics Research Section B: Beam Interactions with Materials and Atoms*. 249(1-2), pp 612-615.
- Shariff, Asad; Bülow, Karin; Elfman, Mikael; Kristiansson, Per; Malmqvist, Klas G; Pal-lon, Jan. (2002). “Calibration of a New Chamber Using GUPIX Software Package for PIXE Analysis”. *Nuclear Instruments & Methods in Physics Research Section B: Beam Interactions with Materials and Atoms*. 189(1-4), pp 131-137.

#### English Translation of References

##### Books

- Abbott, Keith Edward. (1983). *Cities & trade: Consul Abbott on the economy and society of Iran 1847-1866.* Edited by Abbas Amanat. London: Ithaca.
- Aghili, Abdollah. (1377/1998). “*Dār-oz-zarb-hā-ye Irān dar dōwre-ye eslāmī*” (Mints of Iran in the Islamic period). Tehran: Bonyād-e Mowqufāt-e Doktor Mahmud Afšār (Foundation of Doctor Mahmoud Afshar Yazdi's Endowments). [Persian]
- Album, Stephen. (2011). *Checklist of Islamic coins* (3rd ed.). Santa Rosa: Stephen Album Rare Coins.
- Bradley Birt, E. B. (1909). *Persia: Through Persia from the Gulf to the Caspian.* New York: E. P. Dutton and Co.



- Farahbakhsh, Houshang. (1354/1975). “*Rāhnāmā-ye sekke-hā-ye zarbi (čakkoši-ye) Irān...*” (Standard catalogue of Iranian mint (hammered) coins...). Tehran: Farahbaxš. [Persian]
- Heritage Auctions. (6-7 Jan 2013). *Ancient & world coins signature action*. Dallas: Heritage Auctions.
- Landor, Arnold Henry Savage. (1902). *Across coveted lands* (vol. 1). London: Charles Scribners Son.
- Matthee, Rudolph, Floor, Willem, & Clawson, Patrick. (1396/2017). “*Tārix-e puli-ye Irān: Az Safavieh tā Qājārieh*” (The monetary history of Iran: From the Safavids to the Qajars). Translated by Javad Abbasi. Tehran: Nāmak. [Persian]
- Michael, Thomas. (2015). *Standard catalog of world coins 1801-1900* (8th ed.). Iola: Krause Publications.
- Rabino di Borgomale, Hyacinth Louis. (1945). *Coins, medals, and seals of the Shahs of Iran, 1500-1941*. Hertford: Stephan Austin and Sons Ltd.

### Articles

- Beck, L; Bosonnet, S; Réveillon, S; Eliot, D; Pilon, F. (2004). “Silver surface enrichment of silver-copper alloys: A limitation for the analysis of ancient silver coins by surface techniques”. *Nuclear Instruments and Methods in Physics Research Section B: Beam Interactions with Materials and Atoms*. 226(1-2), pp. 153-162.
- Ben Abdelouahed, H.; Gharbi, F.; Roumié, M.; Baccouche, S.; Ben Romdhane, K.; Nsouli, B.; & Trabelsi, A. (2010). “PIXE analysis of medieval silver coins”. *Materials Characterization*. vol. 61(1), pp. 59-64.
- Ben Abdelouahed, H; Incerti, S; Mantero, A. (2009). “New Geant4 cross section models for PIXE simulation”. *Nuclear Instruments and Methods in Physics Research Section B: Beam Interactions with Materials and Atoms*. 267(1), pp. 37-44.
- Denker, Andrea; Bohne, W; Campbell, J. L.; Heide, P; Hopman, T; Maxwell, J. A.; Opitz-Coutureau, J.; Rauschenberg, J.; Röhrich, J.; & Strub, E. (2005). “High-energy PIXE using very energetic protons: Quantitative analysis and cross-sections”. *X-Ray Spectrometry*. 34(4), pp. 376-380.
- Flament, Christophe; & Marchetti, Patrick. (2004). “Analysis of ancient silver coins”. *Nuclear Instruments and Methods in Physics Research Section B: Beam Inter-*



- actions with Materials and Atoms*. 226(1-2), pp. 179-184.
- Gaschen, A. A-M.; Döbeli, M.; Markwitz, A.; Barry, B.; Ulrich-Bochsler, S.; & Krähenbühl, U. (2008). "Restrictions on Fluorine depth profiling for exposure age dating in archaeological bones". *Journal of Archaeological Science*. 35(3), pp. 535-552.
- Hughes, M. J.; & Hall, J. A. (1979). "X-Ray fluorescence analysis of late Roman and Sasanian silver plate". *Journal of Archaeological Science*. 6(4), pp. 321-344.
- Ishii, K.; & Morita, S. (1988). "Theoretical estimation of PIXE detection limits". *Nuclear Instruments and Methods in Physics Research Section B: Beam Interactions with Materials and Atoms*. 34(2), pp. 209-216.
- Johansson, Sven. A. E.; & Johansson, Thomas. B. (1976). "Analytical application of Particle Induced X-Ray Emission". *Nuclear Instruments and Methods in Physics Research Section B: Beam Interactions with Materials and Atoms*. 137(3), pp. 473-516.
- Khademi Nadoushan, Farhang; Mohaghegh, Maryam; Hozhabri Nobari, Alireza; & Masjedi Khak, Parastou. (1394/2015). "Barresi-ye owzā'-e siāsi-eqtesādi-ye hokumat-e Aškāniān dar sāl-hā-ye 2-57 B. C. (Dowrān-e pādešvhi-ye Orod-e Dovvom va Farhād-e čahārom): Bar asās-e tarkibāt-e šimiyāyi-ye sekke-hā-ye no-qreh bā raveš-e āzmāyešgāhi-ye PIKSI" (Studyin the politico-economic condition of Parthians between the 57-2 B.C, the kingdom of 2nd Orod and 4th Farhad, based on the analysis of chemical compounds of silver coins using PIXE method). *Pažuheš-hā-ye Bāstān-šenāsi-ye Irān* (Iranian Scientific Archeological Association), 5(8), pp. 53-66. [Persian]
- Kianzadegan, Sousan; Rajaei, Seyyed Jalal; Majedi Khak, Parastou; & Sa'adatmehr, Mohammad Amin. (1398/2019). "Tajzie-ye 'onsori-ye sekke-hā-ye Piruz-e Sāsāni be raveš-e PIKSI; Motāle'eh-ye moredi: Sekke-hā-ye ganjne-ye Piruzgat-e kašf-šode az rustā-ye Tis-e Čābahār" (Elemental analysis of Piruz, the Sassanid King, coins by using PIXE technique, a case study of Piruzgat treasure coins, discovered in Tis village, Chabahar). *ā* (Iranian Scientific Archeological Association), 9(22), pp. 181-196. [Persian]
- Lame'i Rashti, Mohammad. (1382/2003). "Naqš-e tahlil-e 'onsori dar bāstān-sanji: Tajzie-ye āzmāyešgāh-e vāndogrāf" (The role of elemental analysis in archeology: The analysis of lab Van de Graaff). In Masoud Azarnoush (Ed.), "*Majmu'e*



*maqālāt-e noxostin hamāyeš-e bāstān-sanjī dar Irān: Naqš-e ‘olum-e pāyeh dar bāstān-šenāsi*” (Summary of articles the first symposium of archaeometry in Iran: The role of the sciences in archaeology). Tehran: Sāzmān-e Mirās-e Farhangi-ye Kešvar (Ministry of Cultural Heritage, Tourism and Handicraft Organization). [Persian]

Linke, Robert; Schreiner, Manfred; & Demortier, Guy. (2004). “The application of Photo-, Electron and Proton Induced X-Ray analysis for the identification and characterization of medieval silver coins”. *Nuclear Instruments and Methods in Physics Research Section B: Beam Interactions with Materials and Atoms*, 226(1), pp. 172-178.

Maxwell, J. A.; Teesdale, W. J.; & Campbell, J. L. (1995). “The Guelph PIXE software package II”. *Nuclear Instruments and Methods in Physics Research Section B: Beam Interactions with Materials and Atoms*, 95(3), pp. 407-421.

Meyers, P. (2003). “Production, distribution, and control of silver: Information provided by elemental composition of ancient silver objects”. *Patterns and Process: A Festschrift in Honor of Dr. Edward V. Sayre*. Suitland: Smithsonian Center for Materials Research and Education. pp. 271-288.

Oliayi, Parvin; Afarideh, Hossein; & Agha Aligol, Davoud. (1394/2015). “Motāle’-ye āmāri-ye sekke-hā-ye noqre-ye Haxāmaneši, Aškāni va Sāsāni bā estefāde az ānāliz-e ‘onsori be raveš-e piksi” (Statistical study of the Achaemenid, Parthian and Sassanid silver coins using elemental analysis by PIXE technique). *Motāle’-āt-e Bāstān-šenāsi* (Journal of Archaeological Studies), 7(1), pp. 17-28. [Persian]

Rabino, Joseph. (1892). “Banking in Persia: Its basis, history, and prospects”. *Journal of the Institute of Bankers*, no.13, pp. 1-56.

Roumié, M.; Nsouli, B.; Atalla, C.; & Waksman, S. Y. (2005). “Application of PIXE using Al Funny Filter for cluster analysis of Byzantine Amphorae from Beirut”. *Nuclear Instruments and Methods in Physics Research Section B: Beam Interactions with Materials and Atoms*, 227(4), pp. 584-590.

Roumié, Mohamad; Reynolds, Paul; Atallah, Carol; Bakraji, Elias; Zahraman, Khaled; & Nsoulia, Bilal. (2006). “Provenance study of excavated pottery from Beirut using PIXE cluster analysis”. *Nuclear Instruments and Methods in Physics Re-*



search **Section B: Beam Interactions with Materials and Atoms.** 249(1-2), pp. 612-615.

Shariff, Asad; Bülow, Karin; Elfman, Mikael; Kristiansson, Per; Malmqvist, Klas G; & Pallon, Jan. (2002). "Calibration of a new chamber using GUPIX software package for PIXE analysis". **Nuclear Instruments & Methods in Physics Research Section B: Beam Interactions with Materials and Atoms.** 189(1-4), pp. 131-137.

#### Dissertations

Esmaeelzade Kivi, Sina. (1392/2013). "**Motāle'e-ye ašyā'-ye makšufeh az bāft-e tārīxi-ye Ardebil va mohavvate-ye tārīxi-ye majmu'e-ye Šeix Safi-od-Din-e Ardebili bā raves-e gosil-e partov-e Iks bā tābeš-e poroton (PIKSI)**" (Study of the discovered objects from the historical context of Ardabil and the historical site of the Sheikh Safi-ud-Din Ardabil complex by proton-induced X-ray emission (PIXE) technique). [Unpublished Master's thesis]. Ardebil: Dāneškade-ye 'Olum (Faculty of Sciences), Dānešgāh-e Mohaqeq-e Ardebili (University of Mohaghegh Ardabili). [Persian]

Kianzadegan, Sousan. (1397/2018). "**Tahlil-e qodrat-e eqtesādi dar dowre-ye Piruz-e Sāsāni be komak-e āzmāyeš-e PIKSI: Motāle'e-ye moredi-ye sekke-hā-ye makšufe az Piruzgat (Čābahār, Balučestān-e Irān)**" (An analysis of economic power in Pirouz Sassani period using PIXE experiment: A case study of coins discovered from Piroozgat (Chabahar, Baluchistan, Iran)). [Unpublished Master's thesis]. Mašhad: Dāneškade-ye Adabiāt va 'Olum-e Ensāni (Faculty of Literature and Humanities), Dānešgāh-e Ferdowsi-ye Mašhad (Ferdowsi University Mashhad). [Persian]